

# 电子工业 生产技术手册

4

电真空器件卷

电真空材料

电真空器件通用生产技术

## 内 容 简 介

本书是《电子工业生产技术手册》的第4分册，主要介绍制造电真空器件用的通用材料和工艺。材料包括钨、钼、钽、铌、铜、镍等金属，合金和各类定膨胀合金。对低蒸气压焊料和磁性材料亦作了介绍。非金属材料着重介绍电真空陶瓷、玻璃和某些晶体。对各种材料只介绍其性能、用途而不涉及制造工艺。

通用工艺不包括普通零件的制造工艺而只从制造电真空器件角度介绍零件的清洗、被覆、焊接、封接、装架、封口、排气、老炼等技术。对电真空器件专用零件如阴极、热丝、消气剂、微波组件介绍了他们的特殊要求和制法。对真空技术亦作了较详细的介绍。

本分册未涉及光电器件、电光源器件专用的材料和工艺，这些内容将在本卷另一分册作详细介绍。

本书适于从事电真空器件和真空技术专业的工程技术人员、工人和管理人员参考，也可供大学、专科和中等专业学校作为教学参考资料。

## 电子工业生产技术手册

(4)

### 电 真 空 器 件 卷

《电子工业生产技术手册》编委会 编

\*  
国防工业出版社出版、发行

(北京市车公庄西路老虎庙七号)

新华书店经售

国防工业出版社印刷厂印刷

\*

787×1092 1/16 印张64 1491千字

1990年2月第一版 1990年2月第一次印刷 印数：0,001—4,000册

ISBN 7-118-00220-8/TN·41 定价：35.10元

科技新书目205-011

# 目 录

## 第1篇 电 真 空 材 料

|                               |     |
|-------------------------------|-----|
| <b>第1章 难熔金属</b> .....         | 3   |
| 1.1 钨 .....                   | 4   |
| 1.1.1 钨的物理性质 .....            | 4   |
| 1.1.2 钨的化学性质 .....            | 13  |
| 1.1.3 钨的机械性能 .....            | 14  |
| 1.1.4 含氧化物添加剂的钨丝 .....        | 18  |
| 1.1.5 钨合金 .....               | 21  |
| 1.1.6 钨及其合金的牌号和应用 .....       | 24  |
| 1.2 钼 .....                   | 25  |
| 1.2.1 钼的物理性质 .....            | 26  |
| 1.2.2 钼的化学性质 .....            | 28  |
| 1.2.3 钼的机械性能 .....            | 30  |
| 1.2.4 含氧化物添加剂的钼 .....         | 34  |
| 1.2.5 钼合金 .....               | 35  |
| 1.2.6 钼及其合金的牌号和应用 .....       | 38  |
| 1.3 钇和铌 .....                 | 39  |
| 1.3.1 钇、铌的物理性质 .....          | 39  |
| 1.3.2 钇、铌的化学性质 .....          | 41  |
| 1.3.3 钇和铌的机械性能 .....          | 43  |
| 1.3.4 钇-铌合金 .....             | 45  |
| 1.3.5 钇、铌及其合金的牌号和<br>应用 ..... | 49  |
| 1.4 钛、锆、铪 .....               | 50  |
| 1.4.1 钛 .....                 | 50  |
| 1.4.2 锆 .....                 | 59  |
| 1.4.3 铱 .....                 | 61  |
| 1.5 铌 .....                   | 63  |
| 1.5.1 铌的原子、晶体结构性质 .....       | 63  |
| 1.5.2 铌的热性质 .....             | 63  |
| 1.5.3 铌的电磁性质 .....            | 64  |
| 1.5.4 铌的化学性质 .....            | 64  |
| 1.5.5 铌的机械性能 .....            | 65  |
| 1.5.6 铌的用途 .....              | 65  |
| <b>第2章 非难熔金属</b> .....        | 67  |
| 2.1 铁和钢 .....                 | 67  |
| 2.1.1 纯铁的成分、用途和性能 .....       | 67  |
| 2.1.2 电真空技术中常用的钢 .....        | 71  |
| 2.2 镍及其合金 .....               | 86  |
| 2.2.1 镍的特性 .....              | 87  |
| 2.2.2 阴极用镍及其合金 .....          | 91  |
| 2.2.3 其它几种常用的镍合金 .....        | 100 |
| 2.3 铜及其合金 .....               | 104 |
| 2.3.1 纯铜 .....                | 104 |
| 2.3.2 黄铜 .....                | 114 |
| 2.3.3 青铜 .....                | 115 |
| 2.4 铝及其合金 .....               | 119 |
| 2.4.1 铝的物理、机械性能 .....         | 119 |
| 2.4.2 铝的化学性能 .....            | 120 |
| 2.4.3 铝的工艺性能 .....            | 121 |
| 2.4.4 真空技术中常用的铝及其合金 .....     | 121 |
| 2.4.5 应用 .....                | 126 |
| 2.5 膨胀合金 .....                | 127 |
| 2.5.1 铁磁性膨胀合金 .....           | 127 |
| 2.5.2 非铁磁性膨胀合金 .....          | 137 |
| <b>第3章 焊 料</b> .....          | 141 |
| 3.1 电真空器件对焊料的基本<br>要求 .....   | 141 |
| 3.2 常用电真空焊料的分类 .....          | 142 |
| 3.2.1 钨系焊料 .....              | 142 |
| 3.2.2 金系焊料 .....              | 142 |
| 3.2.3 银系焊料 .....              | 142 |
| 3.2.4 铜系焊料 .....              | 143 |
| 3.2.5 其它焊料 .....              | 143 |
| 3.3 常用电真空焊料性能图、<br>表汇编 .....  | 144 |
| <b>第4章 其它金属材料</b> .....       | 162 |
| 4.1 贵金属及其合金 .....             | 162 |
| 4.1.1 贵金属的性能 .....            | 162 |
| 4.1.2 贵金属及其合金的应用 .....        | 168 |
| 4.2 金属粉末 .....                | 170 |

|                              |            |                                   |            |
|------------------------------|------------|-----------------------------------|------------|
| 4.3 复合材料 .....               | 173        | 6.6.3 与固体的反应 .....                | 233        |
| 4.3.1 封接用复合材料 .....          | 173        | 第 7 章 电真空玻璃 .....                 | 234        |
| 4.3.2 电极用复合材料 .....          | 175        | 7.1 电子管玻璃 .....                   | 235        |
| 4.3.3 其它复合材料 .....           | 176        | 7.1.1 钨组玻璃 .....                  | 235        |
| <b>第 5 章 磁性材料 .....</b>      | <b>179</b> | 7.1.2 铷组玻璃 .....                  | 235        |
| 5.1 软磁材料 .....               | 179        | 7.1.3 钡组玻璃 .....                  | 235        |
| 5.1.1 软磁材料的磁性能 .....         | 179        | 7.1.4 钢组玻璃 .....                  | 238        |
| 5.1.2 常用的软磁材料 .....          | 180        | 7.2 显象管玻璃 .....                   | 238        |
| 5.1.3 磁温度补偿合金 .....          | 188        | 7.2.1 黑白显象管玻璃 .....               | 238        |
| 5.2 永磁材料 .....               | 189        | 7.2.2 彩色显象管玻璃 .....               | 240        |
| 5.2.1 永磁材料的特性与分类 .....       | 189        | 7.3 焊料玻璃 .....                    | 243        |
| 5.2.2 微波电子管中常用的永磁材料 .....    | 191        | 7.3.1 焊料玻璃的某些特性 .....             | 243        |
| 5.3 超导磁体 .....               | 200        | 7.3.2 易熔焊料玻璃 .....                | 245        |
| 5.3.1 超导现象与物理概念 .....        | 200        | 7.3.3 难熔焊料玻璃 .....                | 248        |
| 5.3.2 实用的超导材料和使用<br>条件 ..... | 202        | 7.3.4 中间玻璃 .....                  | 249        |
| 5.3.3 超导磁体电流供电方法 .....       | 204        | 7.4 微晶玻璃 .....                    | 249        |
| 5.3.4 超导材料的应用 .....          | 204        | 7.4.1 微晶玻璃的分类 .....               | 250        |
| <b>第 6 章 电真空陶瓷 .....</b>     | <b>207</b> | 7.4.2 微晶玻璃的性能 .....               | 252        |
| 6.1 氧化物瓷 .....               | 207        | 7.4.3 热敏微晶玻璃 .....                | 253        |
| 6.1.1 氧化铝瓷 .....             | 207        | 7.4.4 光敏微晶玻璃 .....                | 253        |
| 6.1.2 氧化铍瓷 .....             | 209        | 7.4.5 特种微晶玻璃 .....                | 255        |
| 6.1.3 透明瓷 .....              | 211        | 7.5 石英玻璃 .....                    | 260        |
| 6.1.4 其它氧化物瓷 .....           | 212        | 7.5.1 石英玻璃的分类 .....               | 260        |
| 6.2 硅酸盐瓷 .....               | 212        | 7.5.2 石英玻璃的生产工艺特点 .....           | 261        |
| 6.2.1 滑石瓷 .....              | 212        | 7.5.3 石英玻璃的性能 .....               | 262        |
| 6.2.2 镁橄榄石瓷 .....            | 215        | 7.5.4 特种石英玻璃 .....                | 267        |
| 6.2.3 硅灰石瓷 .....             | 215        | <b>第 8 章 其它介质材料 .....</b>         | <b>270</b> |
| 6.2.4 锆英石瓷 .....             | 215        | 8.1 云母 .....                      | 270        |
| 6.3 氮化物瓷 .....               | 215        | 8.1.1 云母的组成和结构 .....              | 270        |
| 6.4 其它电真空用瓷 .....            | 217        | 8.1.2 云母的性质 .....                 | 271        |
| 6.4.1 衰减瓷 .....              | 217        | 8.1.3 天然云母及合成云母制品<br>的应用 .....    | 276        |
| 6.4.2 可切削瓷 .....             | 218        | 8.2 金刚石 .....                     | 277        |
| 6.5 电真空瓷的物理性能 .....          | 219        | 8.2.1 类型 .....                    | 277        |
| 6.5.1 真空性能 .....             | 219        | 8.2.2 化学成分及杂质氮 .....              | 278        |
| 6.5.2 热性能 .....              | 220        | 8.2.3 化学物理性能 .....                | 278        |
| 6.5.3 电性能 .....              | 224        | 8.2.4 人造金刚石、人造多晶金<br>刚石衰减材料 ..... | 282        |
| 6.5.4 机械性能 .....             | 230        | 8.2.5 应用 .....                    | 282        |
| 6.5.5 其它性能 .....             | 232        | 8.3 人造蓝宝石 .....                   | 284        |
| 6.6 电真空瓷的化学性能 .....          | 232        | 8.3.1 人造蓝宝石的特性 .....              | 284        |
| 6.6.1 与气体的反应 .....           | 232        | 8.3.2 人造蓝宝石单晶的生长 .....            | 284        |
| 6.6.2 与液体的反应 .....           | 233        |                                   |            |

|                   |     |                    |     |
|-------------------|-----|--------------------|-----|
| 方法                | 287 | 8.6.1 硅橡胶          | 306 |
| 8.3.3 人造蓝宝石的应用    | 289 | 8.6.2 硅橡胶的性能       | 307 |
| 8.4 碳及石墨制品        | 290 | 8.6.3 氟硅橡胶         | 307 |
| 8.4.1 碳和石墨材料的物理性能 | 291 | 8.6.4 氟橡胶          | 308 |
| 8.4.2 碳和石墨材料的化学性能 | 295 | 8.6.5 氟橡胶的选用       | 309 |
| 8.4.3 高纯石墨制品      | 296 | 8.6.6 几种常用的氟化物     | 309 |
| 8.4.4 石墨乳         | 297 | 附 表                | 314 |
| 8.5 真空油脂          | 299 | 1. 金属的物理性能         | 314 |
| 8.5.1 真空脂         | 299 | 2. 固态和液态元素的蒸气压     | 316 |
| 8.5.2 真空封泥及封蜡     | 301 | 3. 各种耐高温材料的蒸气压     | 320 |
| 8.5.3 真空泵油        | 302 | 4. 电子器件常用材料退火温度    | 320 |
| 8.5.4 高真空微孔密封剂    | 305 | 5. 各种气体与蒸气的爆炸范围、自燃 |     |
| 8.5.5 有机硅偶联剂      | 306 | 点、蒸气的比重            | 321 |
| 8.6 硅、氟橡胶及其制品     | 306 | 6. 硬度换算表           | 322 |

## 第2篇 电真空器件通用生产技术

|                      |            |                       |            |
|----------------------|------------|-----------------------|------------|
| <b>第1章 材料与零部件的净化</b> | <b>327</b> | <b>第2章 零部件的被覆</b>     | <b>377</b> |
| 1.1 沾污的类型            | 327        | 2.1 机械被覆              | 377        |
| 1.2 机械净化             | 328        | 2.1.1 喷 涂             | 377        |
| 1.2.1 磨 光            | 328        | 2.1.2 刷 涂             | 382        |
| 1.2.2 抛 光            | 330        | 2.1.3 旋 涂             | 385        |
| 1.2.3 刷 光            | 330        | 2.1.4 拉 涂             | 387        |
| 1.2.4 喷 砂            | 332        | 2.1.5 浸渍涂覆            | 387        |
| 1.2.5 滚筒研磨           | 334        | 2.1.6 沉淀被覆            | 388        |
| 1.3 化学净化             | 338        | 2.2 物理被覆              | 389        |
| 1.3.1 溶剂净化           | 338        | 2.2.1 静电喷涂            | 389        |
| 1.3.2 洗净剂净化          | 342        | 2.2.2 熔融喷涂            | 392        |
| 1.3.3 碱液净化           | 346        | 2.2.3 热 涂             | 395        |
| 1.3.4 酸液净化           | 349        | 2.2.4 真空蒸镀            | 396        |
| 1.3.5 水清洗            | 355        | 2.2.5 激射沉积            | 399        |
| 1.4 热处理净化            | 355        | 2.2.6 离子镀             | 403        |
| 1.4.1 在空气中热处理        | 355        | 2.3 化学被覆              | 406        |
| 1.4.2 在氢气中热处理        | 357        | 2.3.1 化学气相沉积          | 406        |
| 1.4.3 在真空中热处理        | 363        | 2.3.2 置换镀             | 409        |
| 1.5 其它净化             | 367        | 2.3.3 化学镀             | 409        |
| 1.5.1 电化学净化          | 367        | 2.3.4 化学转化            | 412        |
| 1.5.2 超声净化           | 371        | 2.4 电化学被覆             | 413        |
| 1.5.3 粒子轰击净化         | 374        | 2.4.1 电 镀             | 413        |
| 1.5.4 激光净化           | 374        | 2.4.2 电 泳             | 421        |
| 1.6 净化件的贮存           | 374        | 2.4.3 电化学转化           | 423        |
| 1.7 检验和质量分析          | 375        | <b>第3章 金属零件的焊接和连接</b> | <b>426</b> |

|                                 |     |  |     |
|---------------------------------|-----|--|-----|
| <b>3.1 电阻焊 .....</b>            | 427 | <b>4.2.2 研磨 .....</b>                    | 526 |
| 3.1.1 电阻焊的特点和分类 .....           | 427 | 4.2.3 抛光 .....                           | 530 |
| 3.1.2 电真空工业常用金属点焊<br>的可焊性 ..... | 427 | <b>4.3 玻璃与金属封接 .....</b>                 | 533 |
| 3.1.3 点焊工艺 .....                | 429 | 4.3.1 封接件及其材料的技术要求 .....                 | 533 |
| 3.1.4 缺陷分析 .....                | 438 | 4.3.2 玻璃与金属的润湿 .....                     | 534 |
| 3.1.5 点焊质量的监测 .....             | 439 | 4.3.3 玻璃与金属的膨胀系数 .....                   | 534 |
| 3.1.6 凸焊 .....                  | 440 | 4.3.4 金属材料的净化及表面处理 .....                 | 537 |
| 3.1.7 滚焊 .....                  | 442 | 4.3.5 金属氧化层的形成及其工艺 .....                 | 537 |
| 3.1.8 对焊 .....                  | 443 | 4.3.6 典型封接结构及玻璃与<br>金属封接件 .....          | 538 |
| <b>3.2 熔化焊 .....</b>            | 443 | <b>4.4 玻璃与玻璃的封接 .....</b>                | 546 |
| 3.2.1 氩弧焊 .....                 | 443 | 4.4.1 直接熔封 .....                         | 546 |
| 3.2.2 微束等离子焊接 .....             | 453 | 4.4.2 玻璃焊料封接 .....                       | 547 |
| 3.2.3 电子束焊 .....                | 462 | 4.4.3 过渡玻璃封接 .....                       | 548 |
| 3.2.4 激光焊 .....                 | 471 | <b>4.5 应力与退火 .....</b>                   | 553 |
| <b>3.3 钎焊 .....</b>             | 476 | 4.5.1 玻璃中的热致应力 .....                     | 553 |
| 3.3.1 钎焊的特点与种类 .....            | 476 | 4.5.2 玻璃与玻璃的封接应力 .....                   | 553 |
| 3.3.2 钎焊接头设计 .....              | 477 | 4.5.3 玻璃与金属的封接应力 .....                   | 554 |
| 3.3.3 零件钎焊的定位方法及模<br>具选择 .....  | 481 | 4.5.4 应力的测定 .....                        | 556 |
| 3.3.4 钎焊工艺 .....                | 481 | 4.5.5 玻璃的退火 .....                        | 557 |
| 3.3.5 多级钎焊 .....                | 484 | <b>4.6 玻璃成型的模具 .....</b>                 | 558 |
| 3.3.6 常用金属材料的钎焊 .....           | 485 | 4.6.1 对模具材料的技术要求 .....                   | 558 |
| 3.3.7 钎焊在电真空器件生产中<br>的应用 .....  | 487 | 4.6.2 模具材料 .....                         | 558 |
| 3.3.8 钎焊缺陷分析 .....              | 489 | 4.6.3 模具涂料 .....                         | 559 |
| <b>3.4 压力焊 .....</b>            | 492 | 4.6.4 模具温度 .....                         | 559 |
| 3.4.1 扩散焊 .....                 | 492 | 4.6.5 模具的冷却 .....                        | 559 |
| 3.4.2 超声波焊 .....                | 503 | <b>第5章 陶瓷、云母与金属的封接 .....</b>             | 561 |
| 3.4.3 冷压焊 .....                 | 505 | <b>5.1 电真空器件中的陶瓷<br/>    及其封接件 .....</b> | 561 |
| <b>3.5 其它连接方法 .....</b>         | 506 | <b>5.2 常用陶瓷-金属封接结构 .....</b>             | 564 |
| 3.5.1 机械连接 .....                | 506 | 5.2.1 分类 .....                           | 564 |
| 3.5.2 粘接 .....                  | 511 | 5.2.2 平封结构 .....                         | 566 |
| <b>第4章 玻璃零件及其封接 .....</b>       | 514 | 5.2.3 套封结构 .....                         | 568 |
| <b>4.1 玻璃零件 .....</b>           | 514 | 5.2.4 针封结构 .....                         | 570 |
| 4.1.1 玻管 .....                  | 514 | 5.2.5 混合结构 .....                         | 571 |
| 4.1.2 玻壳 .....                  | 518 | <b>5.3 常用陶瓷-金属封接工艺 .....</b>             | 571 |
| 4.1.3 玻碟与玻屏 .....               | 523 | 5.3.1 烧结金属粉末法 .....                      | 572 |
| 4.1.4 玻璃支柱 .....                | 523 | 5.3.2 活性金属法 .....                        | 584 |
| 4.1.5 窗口玻片 .....                | 525 | 5.3.3 其他封接方法 .....                       | 590 |
| <b>4.2 玻璃零件的冷加工 .....</b>       | 525 | 5.3.4 部分特殊介质的封接方法 .....                  | 594 |
| 4.2.1 切割 .....                  | 525 | 5.3.5 陶瓷-金属封接件的检验 .....                  | 595 |

|                                 |            |                                  |            |
|---------------------------------|------------|----------------------------------|------------|
| 5.4.1 云母零件的加工 .....             | 595        | 7.3 热丝的成形 .....                  | 664        |
| 5.4.2 检验及废品分析 .....             | 596        | 7.3.1 成形前丝料的预处理 .....            | 664        |
| 5.4.3 云母的封接 .....               | 597        | 7.3.2 热丝的成形 .....                | 665        |
| <b>第6章 阴 极 .....</b>            | <b>608</b> | 7.3.3 热丝成形的辅助工序 .....            | 666        |
| 6.1 氧化物阴极 .....                 | 609        | 7.4 热丝的涂覆 .....                  | 667        |
| 6.1.1 基金属 .....                 | 610        | 7.4.1 热丝涂覆材料 .....               | 667        |
| 6.1.2 基金属的成形 .....              | 613        | 7.4.2 热丝涂覆工艺 .....               | 670        |
| 6.1.3 碳酸盐 .....                 | 616        | 7.5 热丝的烧结 .....                  | 675        |
| 6.1.4 涂覆工艺 .....                | 619        | 7.6 检验方法和废品分析 .....              | 676        |
| 6.2 氧化物阴极的变体 .....              | 625        | <b>第8章 栅 极 .....</b>             | <b>678</b> |
| 6.2.1 海绵镍阴极 .....               | 625        | 8.1 对栅极材料的要求 .....               | 678        |
| 6.2.2 粉敷镍阴极(又称 CPC) .....       | 627        | 8.2 细丝绕螺旋管形栅极的制造 .....           | 678        |
| 6.2.3 压制阴极(亦称钡镍阴极) .....        | 629        | 8.3 框架栅极的制造 .....                | 683        |
| 6.2.4 储存式阴极 .....               | 629        | 8.4 平板栅极的制造 .....                | 686        |
| 6.3 碳化钍钨阴极 .....                | 630        | 8.5 鼠笼栅极的制造 .....                | 689        |
| 6.3.1 阴极的成形 .....               | 630        | 8.5.1 车床绕制法 .....                | 689        |
| 6.3.2 阴极的碳化 .....               | 631        | 8.5.2 专用机绕制法 .....               | 691        |
| 6.3.3 碳化钍钨阴极的废品分析 .....         | 634        | 8.5.3 手工绕制法 .....                | 693        |
| 6.4 钡钨阴极 .....                  | 634        | 8.5.4 电火花加工法 .....               | 695        |
| 6.4.1 钨海绵体 .....                | 634        | 8.5.5 光刻法 .....                  | 697        |
| 6.4.2 难熔盐 .....                 | 637        | 8.6 热解石墨栅极的制造 .....              | 698        |
| 6.4.3 浸渍钡钨阴极制造工艺 .....          | 641        | 8.7 网状栅极的制造 .....                | 701        |
| 6.4.4 压制钡钨阴极制造工艺 .....          | 642        | 8.7.1 电火花加工法 .....               | 701        |
| 6.4.5 钡钨阴极的发展 .....             | 644        | 8.7.2 电镀-机械法 .....               | 704        |
| 6.4.6 钡钨阴极成品质量检验和<br>废品分析 ..... | 645        | 8.8 蜂窝状球面无截获栅的制造 .....           | 710        |
| 6.5 冷阴极 .....                   | 646        | 8.9 栅极涂覆 .....                   | 712        |
| 6.5.1 外场致发射体 .....              | 646        | 8.9.1 涂 锌 .....                  | 712        |
| 6.5.2 次级发射体 .....               | 646        | 8.9.2 涂碳化钽 .....                 | 713        |
| 6.6 其它阴极 .....                  | 647        | <b>第9章 阳 极 .....</b>             | <b>715</b> |
| 6.6.1 纯金属阴极 .....               | 647        | 9.1 阳极对材料的要求及常用<br>阳极材料的特性 ..... | 715        |
| 6.6.2 六硼化镧阴极 .....              | 648        | 9.1.1 阳极对材料的要求 .....             | 715        |
| 6.6.3 氧化钍阴极和稀土氧化物阴极 .....       | 649        | 9.1.2 常用阳极材料的特性 .....            | 715        |
| 6.6.4 钡钨阴极 .....                | 650        | 9.2 阳极的典型结构与制造方法 .....           | 718        |
| 6.6.5 阴极-热丝组件 .....             | 651        | 9.2.1 阳极的典型结构 .....              | 718        |
| 6.7 阴极性能的比较和应用 .....            | 653        | 9.2.2 典型结构阳极的制造方法 .....          | 721        |
| 6.7.1 几项主要性能的比较 .....           | 653        | 9.2.3 阳极的应用范围 .....              | 724        |
| 6.7.2 阴极性能的综合比较和应<br>用范围 .....  | 658        | 9.3 阳极组件的典型结构及<br>组合方法 .....     | 727        |
| <b>第7章 热 丝 .....</b>            | <b>660</b> | 9.3.1 自然冷却阳极组件 .....             | 727        |
| 7.1 热丝的结构形式 .....               | 660        | 9.3.2 风冷阳极组件 .....               | 728        |
| 7.2 热丝的金属丝材料 .....              | 661        |                                  |            |

|                                 |            |                              |            |
|---------------------------------|------------|------------------------------|------------|
| 9.3.3 水冷阳极组件 .....              | 729        | 12.1 装 配 .....               | 820        |
| 9.3.4 蒸发冷却阳极组件 .....            | 730        | 12.1.1 装配对真空卫生的要求 .....      | 820        |
| 9.3.5 超蒸发和热管冷却阳极组件 .....        | 732        | 12.1.2 装配中常用的工艺方法 .....      | 820        |
| 9.4 常用连接方法的适用范围 .....           | 733        | 12.1.3 阴极部件的装配及要求 .....      | 821        |
| 9.5 阳极表面处理 .....                | 734        | 12.1.4 栅极部件的装配工艺 .....       | 836        |
| <b>第10章 吸气剂 .....</b>           | <b>735</b> | 12.1.5 阳极的装配工艺 .....         | 840        |
| 10.1 蒸散型吸气剂 .....               | 735        | 12.1.6 静电控制电子管的装配工艺 .....    | 840        |
| 10.1.1 常用蒸散型吸气剂品种 .....         | 735        | 12.1.7 微波电子管的装配工艺 .....      | 846        |
| 10.1.2 蒸散型吸气剂制造工艺 .....         | 743        | <b>12.2 封 口 .....</b>        | <b>857</b> |
| 10.1.3 蒸散型吸气剂使用要点 .....         | 745        | 12.2.1 封口用气源 .....           | 857        |
| 10.2 非蒸散型吸气剂 .....              | 750        | 12.2.2 封口用的保护气体 .....        | 860        |
| 10.2.1 常用非蒸散型吸气剂品种 .....        | 751        | 12.2.3 封口用的模夹具 .....         | 862        |
| 10.2.2 非蒸散型吸气剂制造工艺 .....        | 760        | 12.2.4 玻璃封口用 火头种类和结构 .....   | 864        |
| 10.2.3 非蒸散型吸气剂使用要点 .....        | 761        | 12.2.5 玻璃管封口 .....           | 868        |
| <b>第11章 微波管组件 .....</b>         | <b>764</b> | 12.2.6 金属管封口 .....           | 875        |
| 11.1 输能装置 .....                 | 764        | <b>第13章 排气、老炼及整管处理 .....</b> | <b>877</b> |
| 11.1.1 真空密封窗 .....              | 764        | 13.1 排 气 .....               | 877        |
| 11.1.2 阻抗变换器 .....              | 771        | 13.1.1 排气的要求 .....           | 877        |
| 11.2 O型器件的慢波系统及<br>谐振系统 .....   | 774        | 13.1.2 典型的排气系统 .....         | 878        |
| 11.2.1 螺旋线及环杆、环圆形<br>慢波系统 ..... | 774        | 13.1.3 典型排气工艺流程图 .....       | 884        |
| 11.2.2 耦合腔型系统 .....             | 789        | 13.1.4 接排气管 .....            | 884        |
| 11.2.3 速调管谐振腔 .....             | 792        | 13.1.5 检 漏 .....             | 887        |
| 11.3 M型器件的慢波系统及<br>谐振系统 .....   | 793        | 13.1.6 零件除气 .....            | 887        |
| 11.3.1 正交场器件分布作用慢波系统 .....      | 793        | 13.1.7 吸气剂处理 .....           | 891        |
| 11.3.2 磁控管谐振系统及管内调谐<br>机构 ..... | 796        | 13.1.8 阴极的分解与激活 .....        | 891        |
| 11.4 衰减器 .....                  | 799        | 13.1.9 动态排气 .....            | 894        |
| 11.4.1 薄膜衰减器 .....              | 800        | 13.1.10 充气工艺 .....           | 894        |
| 11.4.2 体积衰减器 .....              | 805        | 13.1.11 封 离 .....            | 896        |
| 11.5 电子枪 .....                  | 807        | 13.1.12 电子管典型排气工艺 .....      | 898        |
| 11.5.1 分类与结构 .....              | 808        | <b>13.2 老 炼 .....</b>        | <b>901</b> |
| 11.5.2 特殊制造工艺 .....             | 808        | 13.2.1 热阴极电子管的常规老炼规范 .....   | 901        |
| 11.6 收集极 .....                  | 814        | 13.2.2 老炼实例及特点 .....         | 908        |
| 11.6.1 分类与结构 .....              | 814        | <b>13.3 管外件装配 .....</b>      | <b>911</b> |
| 11.6.2 材料的选择及处理工艺 .....         | 815        | 13.3.1 管外件的基本类别及作用 .....     | 911        |
| 11.6.3 制造工艺 .....               | 816        | 13.3.2 装管基、管帽 .....          | 912        |
| 11.6.4 冷却方式 .....               | 817        | 13.3.3 装散热器 .....            | 916        |
| <b>第12章 装配与封口 .....</b>         | <b>820</b> | 13.3.4 装外调机构 .....           | 917        |
|                                 |            | 13.3.5 装磁路零部件 .....          | 920        |
|                                 |            | 13.3.6 灌 封 .....             | 923        |
|                                 |            | <b>13.4 整管处理 .....</b>       | <b>924</b> |
|                                 |            | 13.4.1 打 印 .....             | 924        |
|                                 |            | 13.4.2 涂 漆 .....             | 925        |

|                                   |            |                                  |            |
|-----------------------------------|------------|----------------------------------|------------|
| 13.4.3 包装及贮存                      | 927        | 14.3.1 漏孔的形式与判断                  | 971        |
| 13.4.4 环境试验对电子管外表的要求              | 929        | 14.3.2 排气过程的检漏技术                 | 972        |
| <b>第14章 真空技术在电真空器件<br/>生产中的应用</b> | <b>930</b> | 14.3.3 电真空器件零部件的检漏               | 975        |
| 14.1 真空获得                         | 930        | 14.3.4 密封管的检漏技术                  | 978        |
| 14.1.1 旋转机械泵                      | 931        | 14.3.5 发展中的检漏技术                  | 979        |
| 14.1.2 扩散泵                        | 932        | 14.3.6 电真空器件常用氦质谱检漏仪             | 980        |
| 14.1.3 涡轮分子泵                      | 935        |                                  |            |
| 14.1.4 低温吸附泵                      | 938        | <b>14.4 真空技术与电真空器件<br/>质量的关系</b> | <b>981</b> |
| 14.1.5 钛升华泵和离子泵                   | 938        | 14.4.1 真空度与电真空器件质量<br>的关系        | 981        |
| 14.1.6 低温冷凝泵                      | 941        | 14.4.2 管内残余气氛对阴极的作用              | 982        |
| 14.1.7 电真空器件常用排气系统                | 942        | 14.4.3 电真空器件的贮存性能                | 987        |
| 14.2 真空测量                         | 945        | 14.4.4 表面分析技术与电真空器<br>件失效机理分析    | 999        |
| 14.2.1 全压强的测量                     | 945        |                                  |            |
| 14.2.2 残余气体分析                     | 951        |                                  |            |
| 14.3 检漏技术                         | 971        |                                  |            |

**附录 常用旧计量单位与法定  
计量单位换算表** ..... 1004

第 1 篇

电 真 空 材 料

主 编

刘 联 宝

主 审

莫 纯 昌



# 第1章 难熔金属

韩忠德

目前，我国把钨、钼、钽、铌、铼、锆、铪和钒等八种元素列为难熔金属。本章将涉及电真空器件生产技术中常用的钨、钼、钽、铌、铼、锆、铪及其合金，同时对熔点较高，应用甚广的钛及其合金也予以适当介绍<sup>(1)~(12)</sup>。

难熔金属和钛的某些性质见表1-1。

表1-1 难熔金属和钛的某些性质

| 金 属 | 符 号 | 熔 点 (℃) | 密 度<br>(g/cm <sup>3</sup> ) | 线 膨 胀 系 数 <sup>a</sup><br>(×10 <sup>-6</sup> K <sup>-1</sup> ) | 晶 型       |
|-----|-----|---------|-----------------------------|--|-----------|
| 钨   | W   | 3400    | 19.3                        | 4.5  | 体心立方(bcc) |
| 钼   | Mo  | 2615    | 10.2                        | 5.1  | 体心立方      |
| 钽   | Ta  | 2980    | 16.6                        | 6.5  | 体心立方      |
| 铌   | Nb  | 2467    | 8.6                         | 7.2  | 体心立方      |
| 铼   | Re  | 3180    | 21.0                        | 6.6  | 密集六方(cph) |
| 锆   | Zr  | 1852    | 6.49                        | 5.9  | 密集六方      |
| 铪   | Hf  | 2227    | 13.1                        | 6.0  | 密集六方      |
| 钒   | V   | 1902    | 6.1                         | 8.3  | 体心立方      |
| 钛   | Ti  | 1667    | 4.5                         | 8.9  | 密集六方      |

钨和钼与许多其它具有体心立方结构的金属一样，都存在塑性向脆性转变的较窄温度范围(图1-1)。

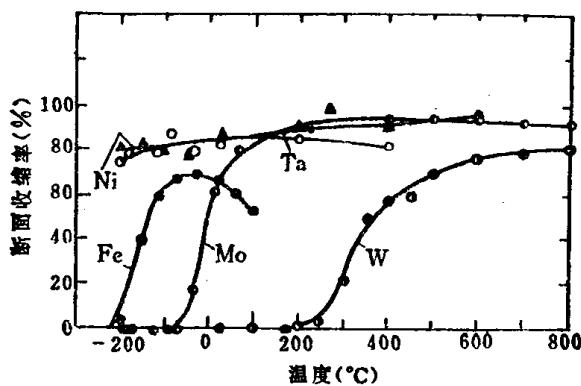


图1-1 体心立方金属的塑-脆转变

体心立方  $\left\{ \begin{array}{l} \text{Ta } 450 \\ \text{W } 2000 \\ \text{Mo } 900 \end{array} \right\}$  晶粒个数/mm<sup>2</sup>

面心立方  $\left\{ \begin{array}{l} \text{Fe} \\ \text{Ni} \end{array} \right\}$

通常，金属的最大和最小断面收缩率之平均值所对应的温度称为塑-脆转变点 DBTT (Ductile-Brittle Transition Temperature)。在转变点以下，材料呈脆性断裂，断裂时的断面收缩率很小；在转变温度范围以上，呈塑性断裂，具有较大的断面收缩率。对于具有面心立

方结构的金属，如铜、铝和奥氏体不锈钢等不存在这种特性。难熔金属中存在的氢、碳、氮、氧等间隙元素以及第二相氧化物、氮化物、碳化物对DBTT有明显影响。这种作用是由于它们能阻止金属中位错移动和金属塑性流动的结果。

钨、钼、钽、铌等难熔金属由于熔点高，早期只能通过粉末冶金技术制取。随着冶金技术的发展，它们已可采用电弧熔炼、感应熔炼、电子束轰击熔炼、区域熔炼以及电渣熔炼等多种方法制取，其性能不断获得提高。采用某些氧化物添加剂和合金化的方法可使钨和钼的性能得到明显改善。不同的冶炼、加工方法对金属的性能有较大的影响。例如，采用粉末冶金方法所获得的金属晶粒较细，但气体含量较高；真空冶炼的气体含量较少，但晶粒较粗；电渣熔炼可以减少金属的非金属夹杂物；电子束轰击熔炼可以减少气体和易挥发性杂质；区域熔炼可以有效地提纯金属，以至获得单晶体。

### 1.1 钨<sup>[13]~[16]</sup>

在纯金属中，钨的熔点、硬度最高，蒸气压、膨胀系数最低。这些特性使它成为电真空器件中最不可缺少的一种难熔金属。

#### 1.1.1 钨的物理性质

##### 1. 钨的原子、晶体结构性能

原子序数 74

原子量 183.85

同位素 180、182、183、184、186

原子体积  $15.848 \times 10^{-30} \text{m}^3$

密度(理论值)  $19.3 \text{g/cm}^3$

(按X射线衍射晶格常数间距计算为 $19.254 \text{g/cm}^3$ )

烧结钨(约1500℃)  $10 \sim 15 \text{g/cm}^3$

(约3000℃)  $16.5 \sim 17.5 \text{g/cm}^3$

旋锻钨  $18 \sim 19 \text{g/cm}^3$

控制钨  $18 \sim 19.3 \text{g/cm}^3$

原子价 -2至+6

价轨道  $5d^4 6s^2$

晶格类型 体心立方

晶格常数(Å)  $\alpha\text{-W } 3.16522 \pm 0.00009 \text{ (25°C)}$

$\beta\text{-W } 5.046 \text{ (25°C)}$

( $\beta\text{-W}$ 仅在氧存在时出现，可能为 $\text{W}_3\text{O}$ )

原子间距(Å)  $\alpha\text{-W } 2.74116$

$\beta\text{-W } 2.52$

原子半径(Å)  $\alpha\text{-W } 1.41$

$\beta\text{-W } 1.37$

热中子俘获截面  $(19.2 \pm 1.0) \times 10^{-28} \text{m}^2/\text{mol}$

#### 2. 热性能

|      |  |
|------|--|
| 熔点   | 3400°C                                 |
| 沸点   | 5700±200°C                             |
| 熔化热  | 40.2±6.7 kJ/mol                        |
| 临界温度 | 23000K(假定临界压强为 $101.3 \times 10^7$ Pa) |
| 蒸发热  | 861.0±4.6 J/mol                        |
| 蒸气压  | 可按下式计算:                                |

$$\lg P = \frac{-45385}{T} + 9.877$$

( $T=2600\sim 3100$ K,  $P$ 的单位为Pa)

### 膨胀系数

表1-2 钨的低温膨胀系数

| 温 度<br>(K) | 从X射线点阵间距获得的数据( $\times 10^{-6} K^{-1}$ ) | 膨胀实测数据( $\times 10^{-6} K^{-1}$ ) |
|------------|--|-----------------------------------|
| 180        | 3.7                                      | 3.9                               |
| 140        | 3.2                                      | 3.4                               |
| 100        | 2.3                                      | 2.7                               |
| 80         | 1.8                                      | 2.2                               |
| 60         | 1.1                                      | 1.5                               |
| 40         | 0.4                                      | 0.6                               |

中温(298~2173K)可按下式计算:

$$\frac{L - L_{25^\circ C}}{L_{25^\circ C}} \times 100 = A_0 + A_1 t + A_2 t^2$$

式中,  $t$ 为摄氏温度,  $A_0$ 、 $A_1$ 和 $A_2$ 的数值见下表。

| 材 料   | $A_0$                  | $A_1$                 | $A_2$                 |
|-------|------------------------|-----------------------|-----------------------|
| 粉末冶金棒 | $-8.69 \times 10^{-3}$ | $3.83 \times 10^{-4}$ | $7.92 \times 10^{-6}$ |
| 粉末冶金板 | $-4.58 \times 10^{-3}$ | $3.65 \times 10^{-4}$ | $9.81 \times 10^{-6}$ |
| 电弧熔铸板 | $-6.76 \times 10^{-3}$ | $3.91 \times 10^{-4}$ | $8.98 \times 10^{-6}$ |

高温(2173K以上) 可按下式计算:

$$\alpha = [(5.262 + 0.875 \times 10^{-3})T - (0.0997 \times 10^{-6})T^2 + (0.21 \times 10^{-9})T^3] \times 10^{-6}$$

式中,  $T=t$ (°C)-1900

热导率 见图1-2和图1-3。

比热[kJ/(kg·K)]

$$C_p = 130.32 \left(1 - \frac{4805}{T^2}\right) + (9.1229 \times 10^{-6})T + (23.1481 \times 10^3)T^3$$

焓(J/g)

$$H_T - H_{298} = 0.13586 \left( T + \frac{26.14}{T} \right) - 42.70 + (4.5604 \times 10^{-6})T^2 + (5.78647 \times 10^{-13})T^4$$

熵[J/(g·K)]

$$\Delta S|_{298}^T = 0.13586(\ln T - 5.6971) + 326.4157[\exp(-2\ln T) - (1.12608 \times 10^{-5})]$$

$$+ 9.1229 \times 10^{-6} \times (T - 298) + 23.1481 \times 10^{-13}$$

$$\times \left[ \frac{1}{3} \exp(3 \ln T) - (8.8212 \times 10^6) \right]$$

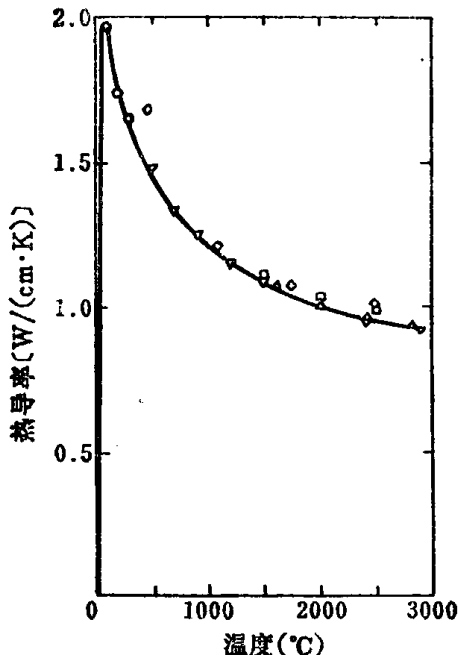


图1-2 钨的热导率与温度的关系

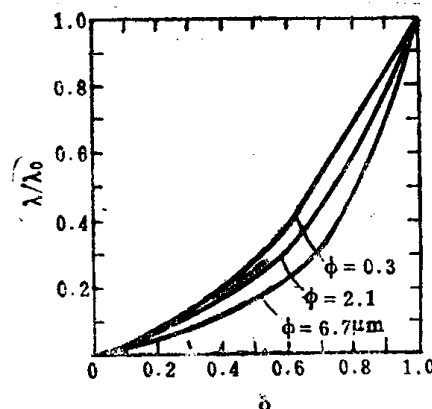


图1-3 钨的相对热导率  $\lambda/\lambda_0$  与相对密度  $\delta$  的关系—— $\lambda_0$  为 100% 的理论密度时的热导率； $\phi$  为粉末平均粒度 ( $\mu\text{m}$ )

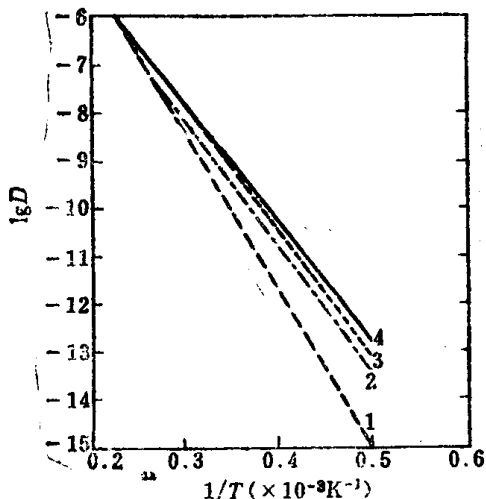


图1-4 钨的自扩散率和钨中碳和钛的体扩散率

1—单晶钨自扩散  $D = 4.28 \exp[-15300/RT]$ ；2—典型多晶钨试样自扩散  $D = 0.54 \exp[-120500/RT]$ ；  
3—钨中的钛；4—钨中的碳。

### 扩散系数

由于晶界扩散远比晶内扩散容易，尤其在较低温度下更是如此，所以体扩散速度与显微结构有明显的关系。图1-4表示在钨中的某些典型扩散情况，表1-3列出钨中某些金属的扩散数据。扩散系数  $D$  等于  $D_0 e^{-Q/RT}$ ，其中  $D_0$  为实验常数， $T$  为绝对温度， $R$  为气体常数， $Q$  为扩散活化能。

表1-3 钨中某些金属的表面扩散数据

| 金 属                       | $D_0$ ( $\text{cm}^2/\text{s}$ ) | $Q$ ( $\text{kJ/mol}$ ) |
|---------------------------|----------------------------------|-------------------------|
| 针<br>钨第一原子层<br>第二原子层<br>钾 | 0.47                             | 278                     |
|                           | 0.2                              | 58.6                    |
|                           | 0.016                            | 9.6                     |
|                           | 0.43                             | 63.6                    |

**再结晶**

钨的再结晶温度随加工率增加而下降，完全再结晶温度为1350~1500℃。真空电弧熔炼钨的再结晶见图1-5。

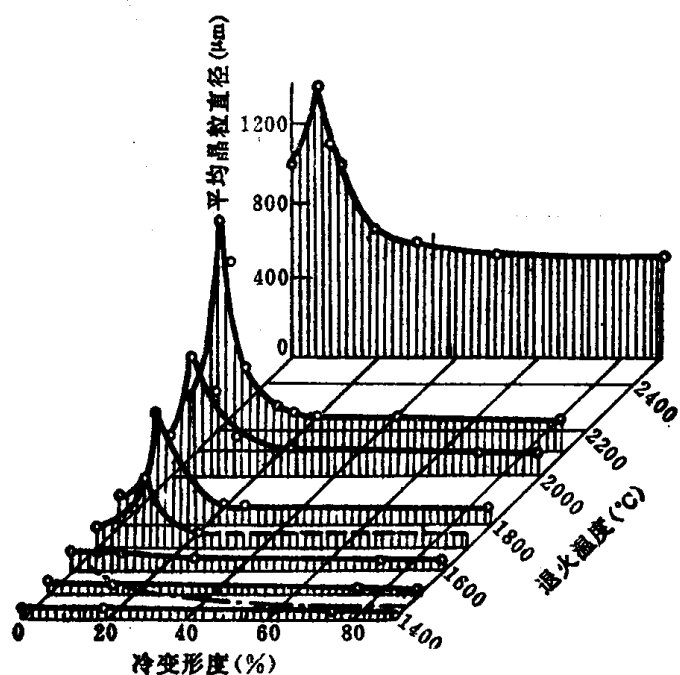


图1-5 钨的再结晶图

**温度特性**

仅与温度有关的钨的性能见表1-4。

**3. 光学性能****X射线发射谱线**

表1-5列出了国际X射线晶体学表中最强X射线谱线与钨的能级界限的对比关系。

**全发射率和辐射热**

真空中样品的发射率在很大程度上取决于其表面状况。通常，存在于金属表面的杂质(如氧化物)会使发射率高于无表面膜的、光洁无晶界的纯金属表面的发射率。单位面积的全辐射能符合斯忒藩-玻耳兹曼定律：

$$P = \sigma \varepsilon (T_1^4 - T_2^4)$$

式中， $T_1, T_2$ 分别为热源、环境的绝对温度，斯忒藩-玻耳兹曼常数 $\sigma = 5.67032 \times 10^{-12} \text{W}/(\text{cm}^2 \cdot \text{K}^4)$ ， $\varepsilon$ 为平均发射率。表1-6列出了不同温度下钨的总发射率和辐射功率密度(环境温度为300K)。图1-6示出了钨的光谱发射率与波长的关系。表1-7列出了钨的不同波长的标准单色

表1-4 钨的温度特性

| 温度<br>$T$<br>(K)                | 色温<br>$T_c$<br>(K)              | 亮度<br>$S_{0.668\mu m}$ | 辐射度<br>$T_R$<br>(K) | 光谱发射率<br>$\varrho_\nu$ | 平均光谱<br>发射率<br>$\varrho_c$ | 色光谱<br>发射率<br>$\varrho_c$ | 全发<br>射率<br>$e_t$ | 正射光度<br>(cd/cm <sup>2</sup> ) | 金辐射<br>强度<br>$\eta$<br>(w/cm <sup>3</sup> ) | 发光效率<br>(lm/w) | 蒸气压<br>(Pa)              | 热容<br>$C_p$<br>(J/(mol·K)) | 不同温<br>度下的对<br>数长 | 电阻率<br>$\rho$<br>( $\mu\Omega \text{cm}$ ) |       |
|---------------------------------|---------------------------------|------------------------|---------------------|------------------------|----------------------------|---------------------------|-------------------|-------------------------------|---|----------------|--------------------------|----------------------------|-------------------|--|-------|
|                                 |                                 |                        |                     |                        |                            |                           |                   |                               |   |                |                          |                            |                   |  |       |
| 光谱发射率<br>$\varrho_{0.668\mu m}$ | 光谱发射率<br>$\varrho_{0.467\mu m}$ |                        |                     |                        |                            |                           |                   |                               |   |                |                          |                            |                   |  |       |
| 300                             |                                 |                        |                     | 0.470                  | 0.505                      |                           | 0.024             | 0.00110                       |   |                |                          | 25.25                      | 1.0000            | 5.65                                       |       |
| 400                             |                                 |                        |                     | 0.468                  | 0.501                      |                           | 0.034             | 0.00495                       |   |                |                          | 25.33                      | 1.0005            | 8.00                                       |       |
| 500                             |                                 |                        |                     | 0.466                  | 0.498                      |                           | 0.042             | 0.015                         |   |                |                          | 25.50                      | 1.0010            | 10.48                                      |       |
| 600                             |                                 |                        |                     | 0.464                  | 0.495                      |                           | 0.052             | 0.0385                        |   |                |                          | 25.70                      | 1.0014            | 13.07                                      |       |
| 700                             |                                 |                        |                     | 0.462                  | 0.492                      |                           | 0.062             | 0.0850                        |   |                |                          | 25.96                      | 1.0018            | 15.75                                      |       |
| 800                             |                                 |                        |                     | 0.460                  | 0.490                      |                           | 0.074             | 0.173                         |   |                |                          | 26.13                      | 1.0023            | 18.51                                      |       |
| 900                             |                                 |                        |                     | 0.458                  | 0.488                      |                           | 0.089             | 0.333                         |   |                |                          | 26.38                      | 1.0028            | 21.35                                      |       |
| 1000                            | 1006                            | 966                    | 581                 | 0.456                  | 0.486                      | 0.464                     | 0.396             | 0.105                         | 0.126 × 10 <sup>-8</sup>                    | 0.600          | 0.693 × 10 <sup>-8</sup> | 26.63                      | 1.0032            | 24.26                                      |       |
| 1100                            | 1108                            | 1058                   | 659                 | 0.454                  | 0.484                      | 0.463                     | 0.393             | 0.121                         | 1.07 × 10 <sup>-8</sup>                     | 1.01           | 3.44 × 10 <sup>-8</sup>  | 26.92                      | 1.0036            | 27.23                                      |       |
| 1200                            | 1210                            | 1149                   | 738                 | 0.452                  | 0.482                      | 0.462                     | 0.391             | 0.138                         | 6.31 × 10 <sup>-9</sup>                     | 1.63           | 12.6 × 10 <sup>-8</sup>  | 27.30                      | 1.0041            | 30.26                                      |       |
| 1300                            | 1312                            | 1240                   | 819                 | 0.450                  | 0.480                      | 0.460                     | 0.388             | 0.156                         | 0.276 × 10 <sup>-9</sup>                    | 2.54           | 0.355 × 10 <sup>-8</sup> | 27.93                      | 1.0046            | 33.29                                      |       |
| 1400                            | 1414                            | 1330                   | 905                 | 0.448                  | 0.478                      | 0.459                     | 0.386             | 0.174                         | 0.1040                                      | 3.82           | 0.899 × 10 <sup>-9</sup> | 28.47                      | 1.0052            | 36.37                                      |       |
| 1500                            | 1517                            | 1420                   | 991                 | 0.445                  | 0.476                      | 0.457                     | 0.383             | 0.192                         | 0.333                                       | 5.54           | 0.199                    | 29.10                      | 1.0057            | 39.50                                      |       |
| 1600                            | 1619                            | 1509                   | 1080                | 0.443                  | 0.475                      | 0.456                     | 0.381             | 0.207                         | 0.94  | 7.74           | 0.395                    | 29.73                      | 1.0063            | 42.67                                      |       |
| 1700                            | 1722                            | 1597                   | 1167                | 0.441                  | 0.473                      | 0.455                     | 0.378             | 0.222                         | 2.30  | 10.58          | 0.724                    | 30.35                      | 1.0069            | 45.88                                      |       |
| 1800                            | 1825                            | 1684                   | 1254                | 0.439                  | 0.472                      | 0.454                     | 0.376             | 0.236                         | 5.15  | 14.15          | 1.19                     | 30.98                      | 1.0075            | 49.12                                      |       |
| 1900                            | 1929                            | 1771                   | 1342                | 0.437                  | 0.470                      | 0.453                     | 0.373             | 0.248                         | 10.40                                       | 18.45          | 1.94                     | 31.61                      | 1.0081            | 52.40                                      |       |
| 2000                            | 2033                            | 1857                   | 1428                | 0.435                  | 0.469                      | 0.452                     | 0.370             | 0.259                         | 20.00                                       | 23.65          | 2.84                     | 1.75 × 10 <sup>-8</sup>    | 32.24             | 1.0088                                     | 55.71 |
| 2100                            | 2137                            | 1943                   | 1514                | 0.433                  | 0.467                      | 0.450                     | 0.367             | 0.269                         | 35.9  | 29.85          | 4.08                     | 1.58 × 10 <sup>-8</sup>    | 32.87             | 1.0094                                     | 59.05 |
| 2200                            | 2242                            | 2026                   | 1601                | 0.431                  | 0.466                      | 0.449                     | 0.364             | 0.278                         | 61.0  | 37.2           | 5.52                     | 1.25 × 10 <sup>-11</sup>   | 33.49             | 1.0101                                     | 62.42 |
| 2300                            | 2347                            | 2109                   | 1688                | 0.429                  | 0.464                      | 0.448                     | 0.362             | 0.286                         | 100.1                                       | 45.7           | 7.24                     | 7.82 × 10 <sup>-11</sup>   | 34.12             | 1.0108                                     | 65.82 |
| 2400                            | 2452                            | 2192                   | 1775                | 0.427                  | 0.463                      | 0.447                     | 0.359             | 0.294                         | 156   | 55.7           | 9.39                     | 4.36 × 10 <sup>-10</sup>   | 34.75             | 1.0116                                     | 69.25 |